連携記事

先進超伝導材料線材化研究の進展

Progress of Advanced Superconducting Tapes and Wires

能含浩明 Hiroaki Kumakura (独) 物質・材料研究機構 超伝導材料センター

<1₂1

はじめに

超伝導は抵抗ゼロで大電流が流せるため、これを各種の電力機器に応用すると効率が高まるだけではなく、機器が小型・軽量化されるので省エネルギーや低炭素化など地球環境保全の面から有利である。具体的には、送電ケーブル、発電機、各種モーター、変圧器、エネルギー貯蔵装置 (SMES)、限流器、磁気分離、電流リードなどが挙げられ、現在プロトタイプの試作等が進められている。

超伝導材料をこれらのエネルギー分野に応用するために は、いわゆる線材化が達成されなければならない。超伝導線 材として重要な特性は、超伝導転移温度 Tc、上部臨界磁界 H_{c2} 、臨界電流密度 I_c の三つである。 T_c と H_{c2} は超伝導体に 固有の値であり、超伝導体が決まるとほぼ決定されてしま う。これに対して Jc は超伝導体の微細組織に極めて敏感であ る。したがって超伝導線材開発は、優れた T_c と H_{c2} を有する 超伝導体に対して微細組織制御を施してJcを高める、という 研究が中心となる。Table 1には応用の観点から重要な超伝 導材料とその T_c と H_{c2} をまとめた。現在線材化研究が進めら れている超伝導材料は金属系超伝導材料と酸化物系超伝導 材料、それと最近のプニクタイド超伝導材料に大別される。 すでに実用化されている超伝導材料は、金属系の Nb-Ti と Nb₃Snの二つである。Nb-Ti は合金系材料で加工性に優れる ために線材化が容易であり、医療診断用MRIや磁気浮上列 車をはじめとして、最も多く使われている。Nb₃Sn は化合物 系の超伝導材料であり、そのままでは加工できないが、いわ ゆるブロンズ法が発明されて線材化が達成されている¹⁾。 Nb₃Sn は Nb-Ti よりも臨界磁界が高いため、高磁界超伝導 マグネットの巻き線材として使われている。国際熱核融合実 験炉 (ITER) のトロイダルコイルの巻き線材としても使用さ れることが決まっている。また、2001年に発見された MgB2 は金属系の超伝導材料であるにも関わらず Teが 39Kと金属

系超伝導材料としては非常に高いので線材化の研究が盛んに 行われている²⁾。

T_cが77K (一気圧における液体窒素の沸点)を超える一連の高温酸化物超伝導体については、発見以来数多くの線材化研究がなされてきたが、最近になってようやく高性能な長尺線材が得られるようになり、実用化が真剣に議論されるようになってきた。実用化の観点から有望な高温酸化物超伝導体はビスマス系酸化物とイットリウム系酸化物である。特にビスマス系線材では長尺線材の開発が進み、これを用いた送電ケーブルなどの試作も活発に進められている。

一方、2008年に日本で発見された一連のプニクタイド超伝導体³⁾は単体では強磁性を示す鉄を構成元素として含んでいるために学術的な関心が高く、また応用を志向した研究も行われているが、まだ大きな超伝導電流を流すことのできる線材は得られていない。

以上の現状を踏まえて、本稿では、実用化研究が最も進ん

Table 1 Important superconductors from the viewpoint of applications

	物質	$T_c(K)$	H _{c2} (T) at 4.2K
酸化物系	YBa ₂ Cu ₃ O ₄	92	>100
	Bi ₂ Sr ₂ CaCu ₂ O _v	90	
	Bi ₂ Sr ₂ Ca ₂ Cu ₃ O ₂	110	
	Tl ₂ Ba ₂ Ca ₂ Cu ₃ O _w	125	
	HgSr ₂ Ca ₂ Cu ₃ O _v	135	
金属系	Nb-Ti	9.8	11.5
	Nb-Zr	10.5	11
	V₃Ga	16	25
	Nb₃Sn	18	25
	Nb ₃ Al	18	32
	Nb ₃ (Al,Ge)	20	43
	Nb₃Ga	20	34
	Nb₃Ge	23	37
	$V_2(Hf,Zr)$	10.1	23
	NbCN	17.8	12
	MgB ₂	39	25
鉄系	SmFeAsO _{1-x} F _x	55	>100

でいるビスマス系酸化物線材と MgB_2 線材の現状についてその概略を紹介したい。

2

ビスマス系超伝導線材

このような Bi-O のブロッキング層は、結晶構造だけではなくビスマス系酸化物の物理的特性にも異方性 (二次元性) をもたらす 4。例えば、Cu-O 面と垂直方向 (c軸方向) の電気抵抗は、面内方向の電気抵抗よりも数桁も高い。このようなブロッキング層の存在は、超伝導特性にも大きな影響を与える。実用的な観点から一つだけ指摘をすると、c軸に平行に磁界をかけた場合、このブロッキング層の存在によって磁束格子がブロッキング層のところで途切れてしまって二次元的なふるまいをするようになり、このために抵抗ゼロの超伝導

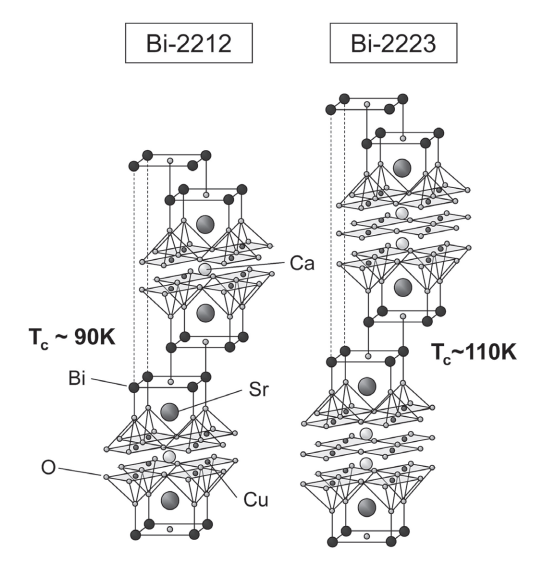


Fig.1 Crystal structure of Bi-based oxide superconductors, Bi-2212 and Bi-2223

電流を流すことのできる臨界磁界である不可逆磁界 H_{irr} が影響を受ける。高温酸化物超伝導体の中でも特にビスマス系は、Cu-O 超伝導層間の距離が大きいために二次元性がかなり強く、このために高温で H_{irr} が低くなってしまうという実用上大きな問題がある。

ビスマス系酸化物も含めて、高温酸化物超伝導体の物理特性に大きな影響を与えるのがキャリア (ホール) のドーピングである。例えば、Bi-2212を高い酸素圧力の下でアニールを行うとBi-O 二重層に酸素が取り込まれ、この酸素はマイナスイオンとなって電子を取り込むので Cu-O 層にはホールがドーピングされることになる。超伝導特性はこのようなキャリアドーピングに大きく影響される。例えば試料をアニールするとその時の酸素分圧によって Tc は変化するが、酸素分圧が高くなると共に Tc が上昇して最高値をとり、さらに酸素分圧が上昇すると逆に Tc は低下する。このようなキャリアドープによる Tc の変化はビスマス系酸化物に限らず、銅系の高温酸化物超伝導体において共通に見られる現象である。

ビスマス系酸化物超伝導体の線材化法としては、Bi-2212、Bi-2223ともに、Fig.2に示したように原料粉末を金属管に充填して加工・熱処理を行う方法が最も一般的であり、通常パウダー・イン・チューブ (PIT) 法と呼ばれる。この場合、ビスマス系酸化物の構成元素の酸化物や炭酸塩などの出発原料粉末を混合・仮焼して前駆体 (プリカーサ)を作製し、このプリカーサを金属管に充填する、という手法がとられる。金属管としては構成元素と反応しにくい銀管が用いられている。酸化物超伝導体の場合は、熱処理中に酸素の出入りが起こるが、酸素は銀を透過することができるので、銀管はこの点でも好都合である。最近では、ある程度加工をした線材を東ねて再度銀管に挿入し、これをさらに加工することによって得ることのできる、より実用に適した多芯線材が主流である。Fig.3に一例としてBi-2212 丸線材の断面構造を示した50。

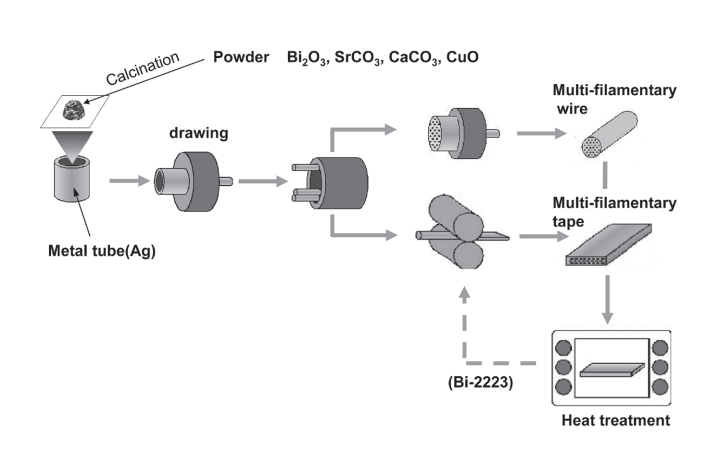


Fig.2 Fabrication method of Bi-based oxide superconducting tape and wire

一般的に高温酸化物超伝導体においては、結晶の方位がランダムな多結晶体では結晶粒同士の結合が弱いという、いわゆる弱結合の問題があり、これを避けるためには、結晶粒の方位を揃えてやること(配向化)が必要である。この配向化によって結晶粒間の結合性が大幅に改善され、大きな超伝導電流を流せるようになる。ビスマス系酸化物超伝導体は異方性(二次元性)が強く、板状に結晶成長するために、結晶粒の配向化が比較的容易である。しかしながら配向化の手法はBi-2212とBi-2223では異なっており、Bi-2212線材においては、熱処理時に温度をBi-2212の融点の少し上まで上げ、その後ゆっくりと冷却をする、いわゆる部分溶融一徐冷熱処理が適用される⁶⁾。Fig.4にBi-2212テープ線材のテープ長手方法の配向組織を示した⁷⁾。Bi-2212結晶の c 軸がテープ面に垂直に配向しているのがわかる。

一方の Bi-2223 では部分溶融ー徐冷熱処理が適用できず、 圧延加工と熱処理を組み合わせることにより配向させている⁸⁾。 Fig.2 に示すように通常は最初の熱処理の後、さらに圧延を行って二次熱処理を行っている。このようにしてBi-2212 テープと同様な c 軸配向組織が得られる。 Bi-2223 線材では溶融法が適用できないために、 Bi-2223 線材における超伝導体の充填率は Bi-2212 線材に比べてかなり低かったが、その



Fig.3 Transverse cross section of Bi-2212 round wire

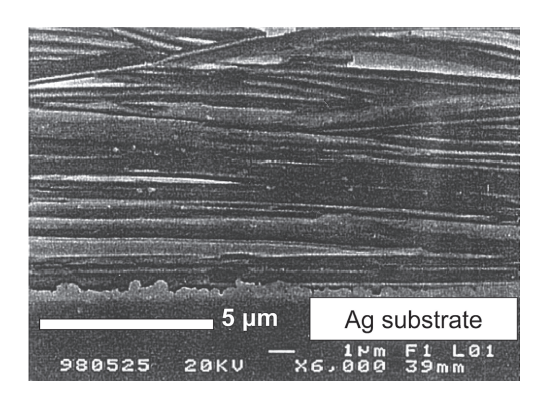


Fig.4 Grain oriented microstructure of Bi-2212 tape

後加圧熱処理法が開発されてほぼ 100%の充填率が得られるようになり、かなり優れた J_c 特性を有する線材が得られるようになった 9 。加圧熱処理法は Bi-2223 結晶の c 軸配向度を向上させる点においても有効であり、これも高 J_c 化に寄与していると考えられる。このようにして作製した Bi-2223 多芯テープ線材の例を Fig.5 に示した。

上述の製法で作製したビスマス系線材は、 ~ 20 K以下の低温ではその高い上部臨界磁界 H_{c2} (あるいは不可逆磁界 H_{irr})を反映して、30T以上の極めて高い磁界まで J_c の低下がほとんどなく、金属系の線材を大幅に凌ぐ優れた特性を示す。したがってビスマス系線材の応用の一つは、低温で使用する高磁界マグネットである。実際、Bi-2212 コイルを既存の液体へリウム冷却型超伝導マグネットシステムの内層マグネットとして使用することにより、23.4Tという超伝導マグネットとしては世界最高の磁界発生に成功している 10 。

このようにビスマス系線材は低温では優れた高磁界特性を示すことから、これを使った高磁界 NMR (核磁気共鳴)装置への適用が期待される。NMRの分解能は磁界が高くなると共に向上するので、高磁界 NMR はタンパク質などの複雑な物質の構造解析に威力を発揮すると期待される。しかしながら NMR で要求される磁場の時間的安定性と空間的均一性を得ることが困難で、これまで実用化されていなかったが、最近の Bi-2223 線材の進展を受けて Bi-2223 線材を一部に用いた NMR システムの開発が進められている 110。

また最近では冷凍機の進歩が目覚しく、~20K程度の温度は簡単に達成できるようになってきている。~20Kでマグネットを運転するメリットは、液体ヘリウム冷却に比べて冷却コストを抑制できるだけでなく、線材の比熱が桁違いに大きくなるので、マグネットの安定性が大きく向上することである。このようにして、液体ヘリウム不要の冷凍機冷却マグネットがビスマス系線材のもう一つの有望な応用である。

一方さらに温度が上がると、ビスマス系線材では磁界中の J_cが急激に低下するという難点がある。これはビスマス系酸 化物が示す大きな異方性と関係しており、本質的な特性であ ると考えられる。しかしながら磁界が十分に低い場合は、液 体窒素温度 (77K) でも相当大きな超伝導電流が流れるため に、磁界の影響の少ない送電ケーブルなどへの応用が有望と



Fig.5 Transverse cross section of high pressure synthesized Bi-2223 tape⁹⁾

考えられ、すでにプロトタイプが試作されて送電試験が行われている。このような超伝導送電においては、通常の交流送電では送電におけるエネルギーロスが従来の送電の1/4、直流の送電ではエネルギーロスが1/10に低減させることができると試算されている120。また、送電電力も従来の同一直径の銅ケーブルに比べて5倍から10倍の送電が可能になる。Fig.6には住友電工がBi-2223線材を用いて試作した三相交流用の送電ケーブルを示した。このケーブルは、米国、エネルギー省のオルバニー市における超伝導送電プロジェクトに使用され、実際の電力系統に組み入れて長時間の運転に成功している130。

一方、船舶や列車、自動車といった交通機関に超伝導を適用すると、低損失によるエネルギー効率が高まるだけでなく、小型・軽量化によるエネルギー使用量の削減も期待できる。超伝導を用いた交通機関としては磁気浮上列車が有名であり、現在は従来の実用超伝導線材である Nb-Ti 合金線材が用いられているが、この Nb-Ti 線材を用いたマグネットシステムを Bi-2223 線材によるマグネットで置き換えた実験も実施されている。 Bi-2223 線材を用いる利点は、運転温度を高く設定できること、またこれに伴って冷却システムが簡単になって軽量化、低コスト化が可能になること、などである。

(**3**) MgB2線材

 MgB_2 超伝導体は Fig.7 に結晶構造を示すようにボロンと Mg の層状構造を形成し、ハニカム構造をなすボロンが高い T_c の発現に重要な役割を果たしていることがわかっている。 MgB_2 は従来の金属系超伝導体と同様に機械的特性が良好で



Fig.6 Superconducting power cable fabricated using Bi-2223 tapes (Courtesy of Sumitomo Electric Industries, Ltd.)

あり、また他の金属系超伝導体と比べて T_c が高いにも関わらず、高温酸化物超伝導体で問題となる結晶粒間の弱結合が存在しないと考えられ、この点で実用上有利である。また、原料の価格が低いことや比較的簡便な線材作製法が適用できるため、低コスト化が可能なこと、なども MgB₂ の利点である。MgB₂ の線材化法に関しては、最近では上のビスマス系線材のところで述べた PIT 法が主流である。

金属管としてはステンレス、純鉄、炭素鋼、ニッケルなどが用いられる。加工性が良好でかつ熱伝導率の高い銅または銅合金管も用いられるが、CuはMgB2と反応するので熱処理温度を高くできないという難点がある。そこでCu管やCu-Ni管の内側をNb等の金属で内張をしてMgとCuの反応を防ぐ手法も試みられている。また、原料粉末の純度や粉末の粒径も重要であり、一般的には高純度の粉末が用いられるが、高純度粉末は高価であり、低純度の粉末を使って高い特性を得る研究も進められている。PIT 法では、熱処理によってMgとBが反応してMgB2が生成する際に、密度の増大に伴う体積の収縮が起こるので、通常のPIT 法による線材のMgB2コアの充填率は50%前後と、かなり低いのが普通である。

MgB₂線材においては、混合粉末に様々な不純物を添加して超伝導特性を向上させる試みが色々となされている。 Fig.8 には、無添加ならびに SiC 添加した MgB₂テープの H_{c2} の温度依存性を、Nb-Ti ならびに Nb₃Sn 実用線材の値と共に示す $^{14)}$ 。 SiC 添加した線材においては、4.2K に外挿した H_{c2} は~30T に達し、この値は実用線材である Nb₃Sn 線材の H_{c2} と同等あるいはそれ以上の値である。 SiC 添加によって H_{c2} が上昇するのは、 SiC の C の 一部が B 原子と置換し、これによって電子の平均自由工程が短くなってコヒーレンス長が短くなるためと考えられる。

またFig.8より20Kに外挿した H_{c2} (20K)は $\sim 11T$ であり、これは、現在最も広く使用されているNb-Ti実用線材の4.2K

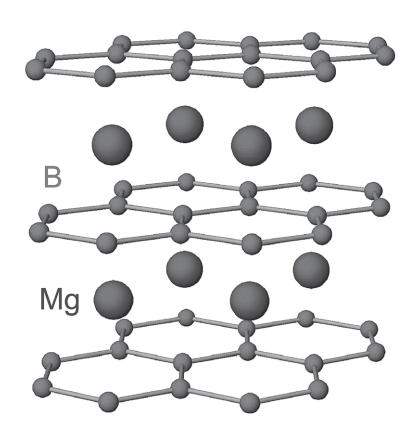


Fig.7 Crystal structure of MgB2 superconductor

における H_{c2} に匹敵する値である $^{15)}$ 。このことは、現在 4.2 K で実用されている Nb-Ti 線材を MgB_2 線材で置き換え、20 K 近傍で運転できる可能性があることを示している。このように MgB_2 線材では 20 K の温度においてもかなり高い H_{c2} がえられることから、 MgB_2 線材の応用の一つとして、液体へリウム不要の、冷凍機で冷却する超伝導機器が考えられる。あるいは、沸点が 20 K の液体水素を冷媒に使うという方法も提案されている $^{16)}$ 。 ~ 20 K でマグネットを運転するメリットは、ビスマス系線材のところですでに述べた。

SiCの添加は、臨界電流特性の改善にも有効である。 Fig.9にSiC添加ならびにエチルトルエン添加したPIT法線材の4.2Kにおける J_c -H特性を示す 17 。SiC添加によって、特に高磁界側でかなり大幅な J_c の向上が得られている。SiCの添加により特に高磁界側の J_c が向上するのは、上述したよ

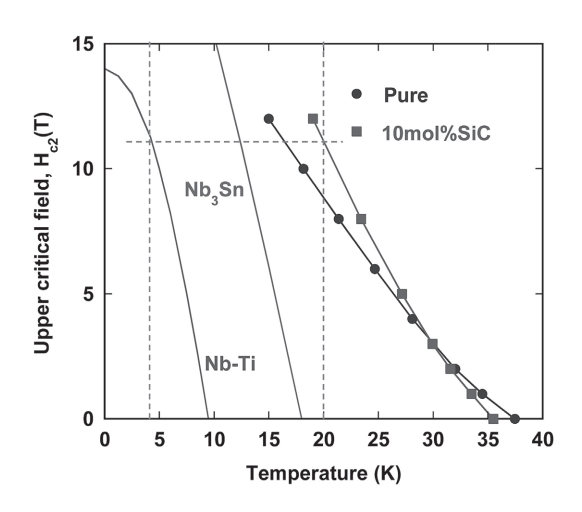


Fig.8 Comparison of $H_{\text{o}2}$ between MgB_2 and commercial superconductors, Nb-Ti and Nb_3Sn

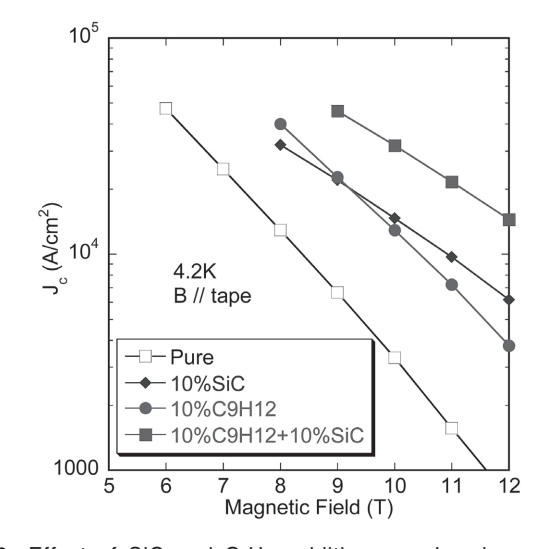


Fig.9 Effect of SiC and C9H12 additions on Jo values of PIT MgB2 tape

うに添加によってボロンサイトのカーボン置換が起こり、こ れによって上部臨界磁界 Hc2 が向上するためと考えられる。 同様な効果はB₄Cや芳香族炭化水素などの種々の炭化物、 カーボンナノチューブやフラーレンなどの炭素の添加によっ ても得られている。ただしSiC添加では、透過電顕等により Mg2Siなどの微細な析出物が観察されることから、これらの 析出物が磁束線の有効なピン止め点となっている可能性もあ る。エチルトルエン添加では、ボロンサイトのカーボン置換 量はSiC添加の場合と比べてはるかに少ないが、これは J_c -H曲線の傾きが SiC 添加の場合と比べて大きく、Hc2 が SiC 添 加ほどには向上していない点にも表れている。同様の効果は 他の炭化水素でも認められるが、この詳しいメカニズムはま だわかっていない。この様にSiC添加とエチルトルエン添加 ではた向上のメカニズムが異なると考えられ、これらを両方 添加すると両者のメカニズムが働いて更に J_c が向上すること が期待される。Fig.9に示したように実際に同時添加を行う と、これらの添加の相乗効果が観測された。

Fig.10には、代表的な PIT 法 MgB2 線材の、4.2K ならびに 20K における J_c -H 特性を、 Nb_3 Sn 実用線材、ならびに Pulsed Laser Deposition (PLD) 法による MgB2 薄膜の特性 $^{18)}$ と比較して示す。20K においては、2T の磁界中で実用レベルの目安とされる 100kA/cm² を越える値が得られており、比較的低い磁界での応用は現状の J_c レベルでも可能であると考えられるが、Fig.10 に示すように J_c は磁界と共に急激に低下してしまう。ここで示した J_c 値は、これまでに報告された MgB2 線材の J_c 値の中でも最も高い値の一つであるが、高磁界領域では J_c はまだ実用レベルに届かず、今後の更なる特性改善が必要不可欠である。

一方 4.2K においては 10T の J_c は 30kA/cm² 程度で、実用 Nb₃Sn 線材の特性にははるかに及ばないのが現状である。 PLD 法による MgB_2 薄膜においては、4.2K、10T で 10^5 A/

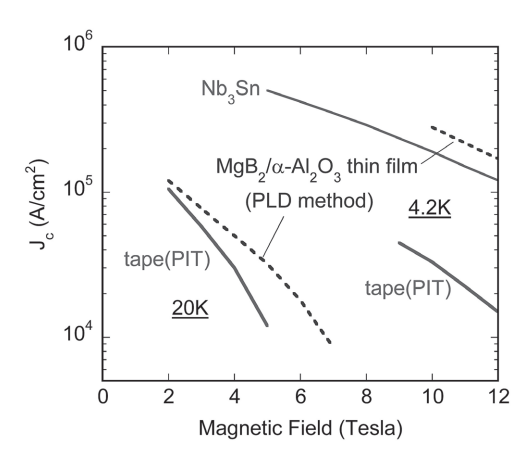


Fig.10 Comparison of J_c between MgB₂ tape, thin film and Nb₃Sn

121

 cm^2 以上とかなり高い J_c が得られているが、これはPLD法 薄膜においては、はるかに高い MgB2 の充填率が得られるた めと考えられる。したがって、PIT法テープにおいても MgB2コアの充填率を上げることによって高いJcが期待でき る。実際、ホットプレス ¹⁹⁾ や Mg 拡散法 ²⁰⁾ の適用で大幅な J_c の向上が報告されている。

以上、MgB2線材の開発状況を述べたが、このようなMgB2 線材開発の進展を受けて、最近では1kmを越える長尺線材や コイル等の試作も行われるようになってきている。筆者らが試 作した小型のソレノイドコイルにおいては、20Kの温度、1テ スラのバイアス磁界において1.3Tの磁界発生が得られてお り²¹⁾、MgB₂線材は冷凍機冷却や液体水素冷却による超伝導 マグネットに有望と考えられる。さらに MgB2 コイルの永久電 流モードの運転にも成功しており²²⁾、4.2Kの温度ではあるが、 1.5Tの磁界を減衰なく12時間にわたって保持することに成功 している。一方海外においては、米国の Hyper Tech 社23)と イタリアの Columbus Superconductors 社²⁴⁾ が、活発に長 尺線材ならびにコイルの開発を進めている。 最近 Columbus Superconductors 社では、ASG Superconductors 社(伊) と協力してMgB2線材を用いてオープンタイプの冷凍機冷却 MRIシステムを完成させ、人体の断面イメージを得ることに 成功している²⁵⁾。発生磁界は0.5~0.6Tと低いことから現段 階では実用的な価値は低いと考えられるが、MgB2線材が応 用上有望であることを明確に示す成果で今後の進展が期待さ れる。

∠4、今後の課題と展望

ビスマス系線材、 MgB_2 線材ともに年々 J_c 特性が向上して きているもののまだ実用レベルに達しておらず、Jcの更なる 向上が必要不可欠である。ビスマス系線材では、結晶粒の配 向化の改善や不純物の低減がカギとなろう。また、一般に高 温酸化物線材は応力や歪みによる」にの劣化が大きく、線材の 補強も必要である。また一般に酸化物線材は作製プロセスが 複雑でコストが高くなりがちであり、コストの低減が非常に 重要である。このためには、線材製造行程の合理化など、検 討すべき項目は多いと考えられる。ただし上述したようにオ ルバニー市での送電試験にも成功しており、磁場発生の低い 送電では、実用化もそう遠くないものと思われる。

MgB2線材においては上述したMgB2コア充填率の改善が まずは重要である。充填率の向上だけで J_c が大幅に改善する 可能性があろう。また、粒界等に析出している可能性のある MgO などの不純物の低減も重要である。MgB2においては 結晶粒界が有効なピンニングセンターの一つであるが、さら にナノ粒子などをピンニングセンターとして導入することも MgB2には有効であると考えられる。

いずれの線材にしても、様々なレベルにおける材料組織の 制御が実用化のカギを握ると考えられ、材料科学に立脚した 研究の積み重ねが、これからも強く望まれる。

参考文献

- 1) 太刀川恭治, 熊倉浩明:MgB2線材と先端金属系超伝導 線材の現状と展望,応用物理,72(2003),13-20.
- 2) 熊倉浩明, 竹内孝夫:金属系超伝導線材技術, 応用物 理, 76 (2007), 44-49.
- 3) 細野秀雄: 新系統 (鉄イオンを含む層状化合物) の高温 超伝導物質の発見,応用物理,78(2009),31-36.
- 4) K.Kishio, J.Shimoyama, T.Kimura, Y.Kotaka, K.Kitazawa. K.Yamafuji, Q.Li and M.Suenaga: Physica C Superconductivity, 235-240 (1994), 2775-2776.
- 5) A.Matsumoto, H.Kitaguchi, H.Kumakura, J.Nishioka and T.Hasegawa: Improvement of the microstructure and critical current densities of Bi-2212 round wires with a precisely controlled heat treatment, Supercond.Sci. Technol, 17 (2004), 989-992.
- 6) H.Kumakura, Bismuth-based High-Temperature Superconductors, ed. By H.Maeda and K.Togano: Marcel Dekker, Inc., New York (1996), 451.
- 7) H.Miao, H.Kitaguchi, H.Kumakura, K.Togano, T.Hasegawa and T.Koizumi: Physica C Superconductivity, 303 (1998), 81-90.
- 8) Y. Yamada, Bismuth-based High-Temperature Superconductors, ed. By H.Maeda and K.Togano: Marcel Dekker, Inc., New York (1996), 289.
- 9) M.Kikuchi, N.Ayai, J.Fujikami, S.Kobayashi, K.Yamazaki, S.Yamade, T.Ishida, T.Kato, K.Hayashi, K.Sato, R.Hata, J.Iihara, K.Yamaguchi, H.Kumakura, H.Kitaguchi, K.Osamura and J.Shimoyama: Advances in Cryogenic Engineering Materials, 54 (2008), 407-415.
- 10) H.Kumakura: Supercond.Sci.Technol., 13 (2000), 34-42.
- 11) 濱田衛, 長谷隆司, 財津享司, 尾崎修, 寺尾泰昭, 木吉 司, 崔世鎔, 高橋雅人, 山崎俊夫, 前田秀明, 細野政 美,大塚昭弘,吉川正敏:第79回低温工学·超電導学 会講演概要集, (2008), 128.
- 12) 佐藤謙一, 低温工学: 42 (2007), 338-345.
- 13) T.Masuda, H.Yumura, M.Watanabe, H.Takigawa, Y.Ashibe, C.Suzawa, H.Ito, M.Hirose, K.Sato, S.Isojima, C.Weber, R.Lee and J.Moscovic: IEEE Trans.Appl. Superconductivity, 17 (2007), 1648-1651.
- 14) 松本明善, 熊倉浩明: 日本金属学会誌, 71 (2007),

- 928-933.
- 15) H.Kumakura, H.Kitaguchi, A.Matsumoto, and H.Yamada: Supercond.Sci.Technol., 18 (2005), 1042-1046.
- 16) M.Grant: Industrial Physicist, 7 (2001) 5, 22-23.
- 17) H.Yamada, N.Uchiyama, A.Matsumoto, H.Kitaguchi and H.Kumakura: Supercond.Sci.Technol., 20 (2007), L30-L33.
- 18) A.Matsumoto, Y.Kobayashi, K.Takahashi, H.Kumakura, and H.Kitaguchi: Appl.Phys.Express, 1 (2008), 021702.
- 19) 山田秀之,五十嵐基仁,熊倉浩明,北口仁,松本明善,太刀川恭治,山田豊,根本豊:第80回低温工学·超電導学会講演概要集,(2009),183.
- 20) K.Togano, JM Hur, A.Matsumoto and H.Kumakura: Supercond.Science and Technol., 22 (2009), 015003.
- 21) K. Tanaka, H. Kitaguchi, H. Kumakura, H. Yamada,

- M.Hirakawa and M.Okada: Supercond.Sc.Technol., 18 (2005), 678-681.
- 22) M.Takahashi, K.Tanaka, M.Okada, H.Kitaguchi and H.Kumakura: Supercond.Sc.Technol., 18 (2005), S373-S375.
- 23) M.Tomsic, M.Rindfleisch, J.Yue, K.McFadden, D.Doll, J.Phillips, M.D.Sumption, M.Bhatia, S.Bohnenstiehl and E.W.Collings: Physica C Superconductivity, 456 (2007), 203-208.
- 24) V.Braccini, D.Nardelli, R.Penco and G.Grasso: Physica C Superconductivity, 456 (2007), 209-217.
- 25) Columbus Superconductors 社 Web サイト http://www.columbussuperconductors.com/

(2009年12月2日受付)